

Procjene maksimalnih godišnjih kratkotrajnih količina oborine na postaji Legrad

Geografska širina (φ): 46.28972° (526710.76E)

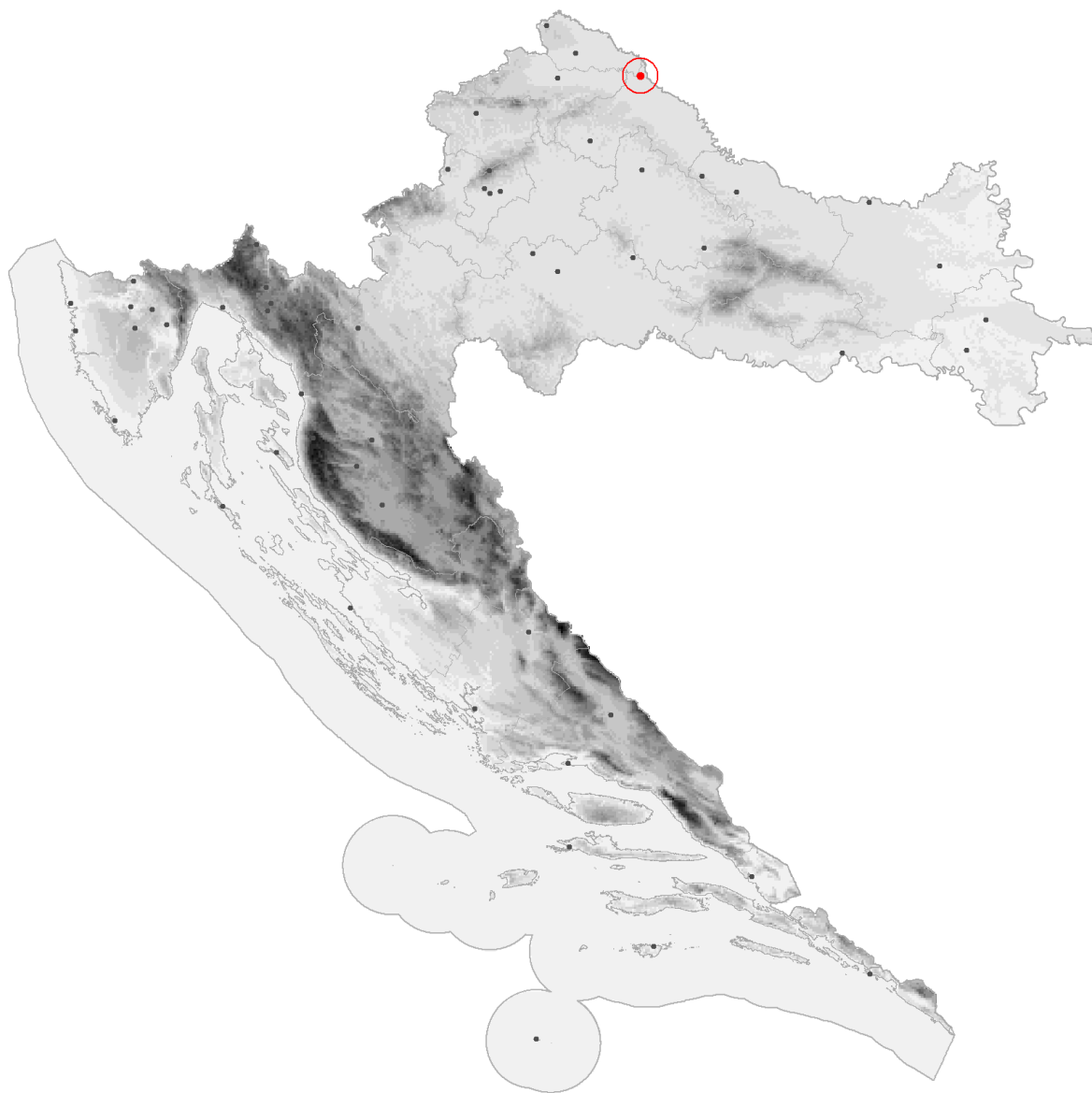
Geografska dužina (λ): 16.84667° (5127835.33N)

Nadmorska visina (h): 133 m

Razdoblje: 1983. – 2020.

Analizirani broj godina: 37 (97.4 %)

Nedostajuće godine: 1 (2.6 %) 2003



Najbliži ombrograf: Čakovec, 31 km

Tablica 1.

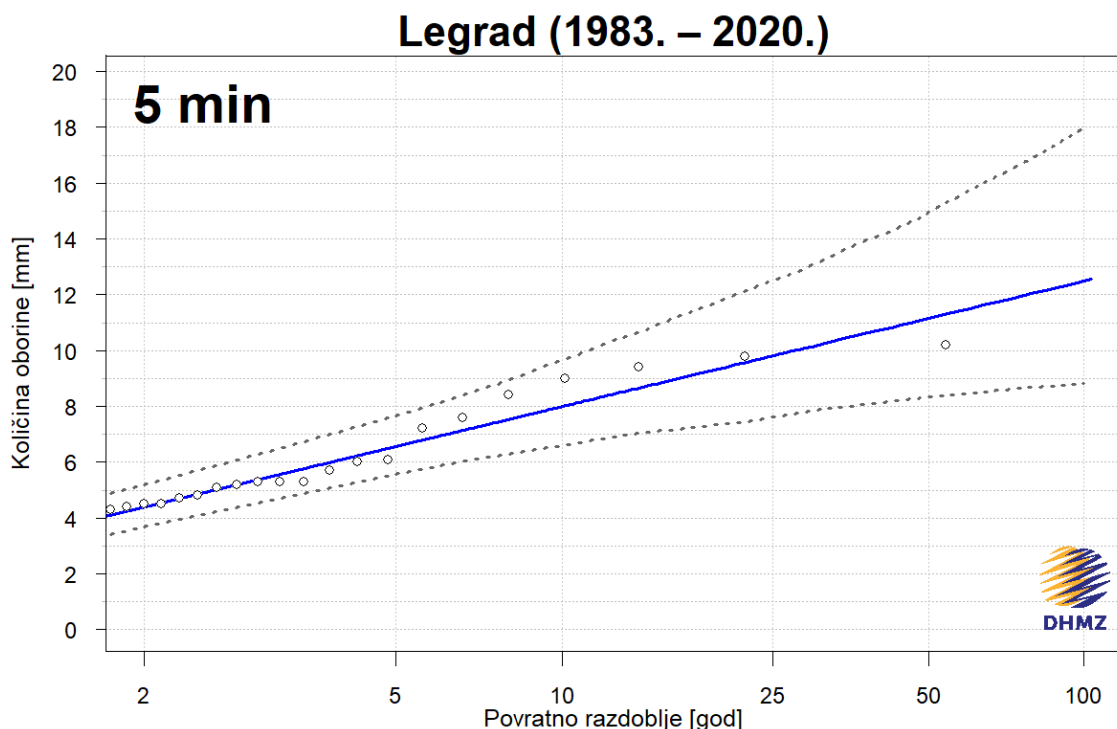
Osnovni statistički parametri oborine za različita trajanja: Rsred – srednjak [mm], StDev – standardna devijacija [mm], CV – koeficijent varijacije oborine, Rmaks – najveća registrirana količina oborine [mm] i pripadni datum i vrijeme, Tmaks – pripadno povratno razdoblje za Rmaks [god]. **LEGRAD**, razdoblje **1983. – 2020.**

Trajanje	Rsred	StDev	CV	Rmaks	Datum/Vrijeme	Tmaks
5 min	4.8	2.4	0.50	10.2	1991-08-25 16:20:00	31
10 min	8.3	4.0	0.48	19.6	2014-09-13 00:05:00	62
20 min	12.7	5.6	0.44	28.0	1991-07-21 17:55:00	46
30 min	15.4	6.3	0.41	33.2	2006-06-29 19:45:00	46
40 min	17.1	6.6	0.39	36.0	2006-06-29 19:55:00	53
50 min	18.3	6.8	0.37	38.8	2006-06-29 20:05:00	62
60 min	19.1	7.0	0.37	39.9	2006-06-29 20:10:00	59
2 h	23.4	7.5	0.32	40.1	2006-06-29 21:05:00	29
3 h	26.2	7.7	0.29	45.8	2014-09-13 01:05:00	41
4 h	28.3	7.4	0.26	50.2	2014-09-13 01:05:00	56
6 h	31.7	6.8	0.21	53.2	2014-09-13 01:05:00	71
8 h	34.2	6.5	0.19	53.7	2014-09-13 01:05:00	79
12 h	39.0	7.3	0.19	55.4	2020-07-25 13:40:00	45
24 h	45.2	12.8	0.28	95.0	2020-07-25 14:35:00	147

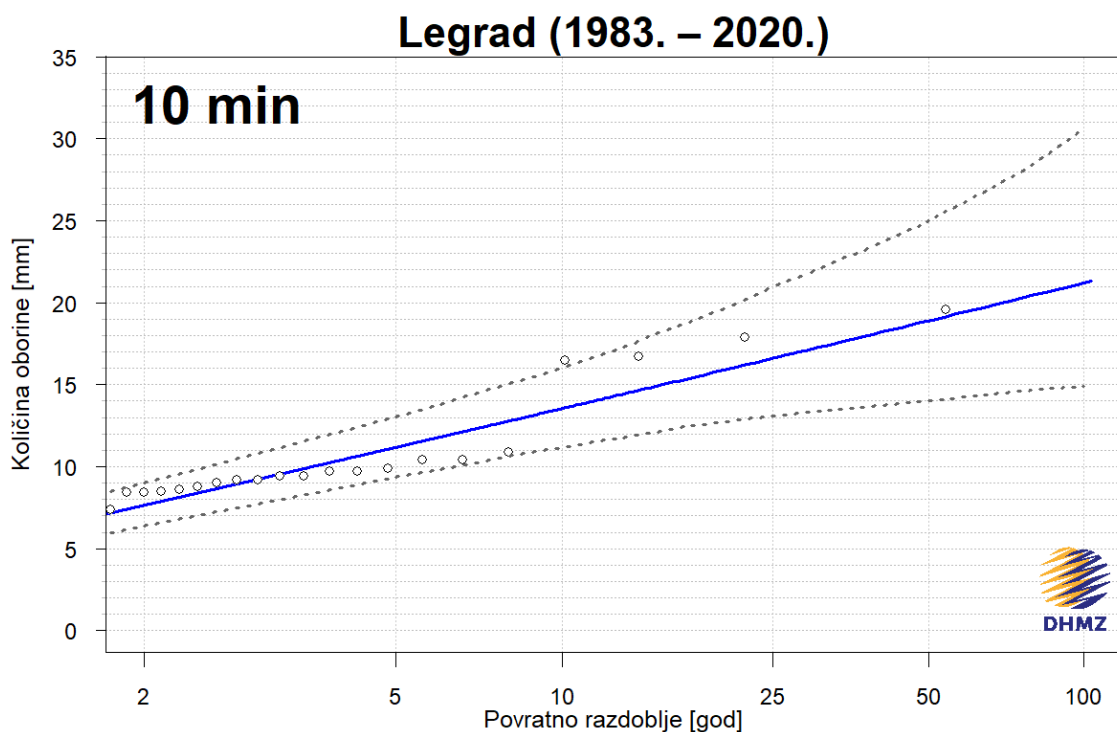
Tablica 2.

Procjene maksimalnih godišnjih količina oborine RT [mm] za različita trajanja i odgovarajuće donje (IPd) i gornje granice (IPg) 95%-tnih intervala pouzdanosti za različita povratna razdoblja T (2, 5, 10, 25, 50 i 100 godina). **LEGRAD**, razdoblje **1983. – 2020.**

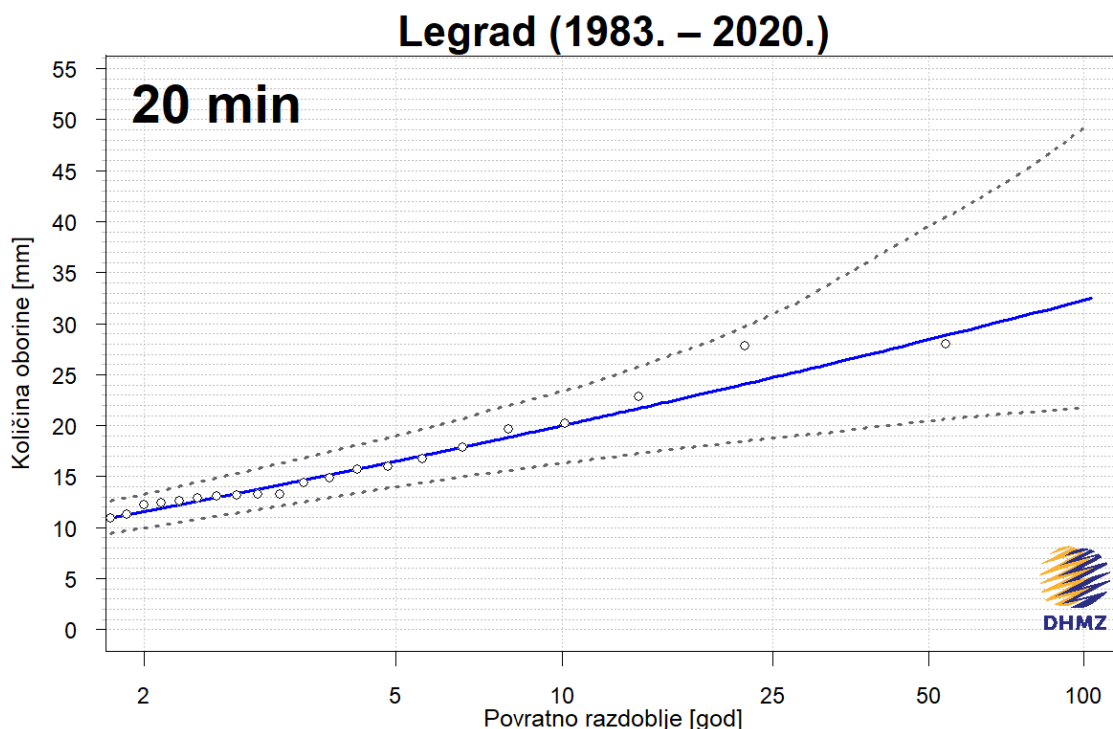
Trajanje	T2			T5			T10			T25			T50			T100		
	IPd	RT	IPg	IPd	RT	IPg												
5 min	3.7	4.4	5.2	5.6	6.6	7.7	6.6	8.0	9.7	7.6	9.8	12.5	8.3	11.2	14.9	8.8	12.5	18.0
10 min	6.4	7.6	9.0	9.3	11.2	13.0	11.2	13.6	16.0	13.1	16.6	21.0	14.0	18.9	25.0	14.9	21.2	30.6
20 min	10.0	11.6	13.2	14.0	16.5	19.0	16.3	20.0	23.4	18.8	24.7	30.9	20.5	28.4	39.5	21.7	32.3	49.2
30 min	12.3	14.0	16.1	16.9	19.5	22.4	19.7	23.6	28.0	22.6	29.2	37.3	24.6	33.7	45.8	26.6	38.5	56.8
40 min	13.8	15.7	18.1	18.5	21.5	25.1	21.4	25.6	30.9	24.7	31.2	39.5	26.7	35.6	48.3	28.5	40.2	58.7
50 min	15.0	16.8	18.8	19.9	22.8	25.9	23.1	27.0	31.8	26.2	32.8	41.8	28.0	37.3	50.5	29.9	42.1	61.9
60 min	15.9	17.7	20.0	21.1	23.8	27.6	24.0	28.2	33.7	27.2	34.1	44.3	29.3	38.8	54.3	30.9	43.7	66.2
2 h	19.9	22.2	24.8	25.6	29.0	32.4	28.7	33.5	38.5	31.9	39.2	47.0	34.1	43.3	54.6	35.6	47.4	63.8
3 h	22.7	24.8	27.4	28.3	31.7	35.3	31.7	36.4	41.3	35.1	42.5	50.9	37.0	47.1	60.8	38.6	51.8	72.4
4 h	24.6	26.7	29.0	30.0	33.2	36.9	33.1	37.8	43.6	36.7	44.2	55.7	38.8	49.3	67.5	40.5	54.7	81.5
6 h	28.2	30.2	32.4	33.1	36.2	39.4	36.2	40.4	45.3	38.9	46.2	54.7	40.6	50.8	63.6	42.0	55.6	74.3
8 h	31.2	33.2	35.7	36.0	39.0	42.3	38.8	42.9	47.5	41.8	47.8	55.8	43.3	51.3	62.7	44.3	54.9	70.8
12 h	36.1	38.5	41.2	42.2	45.1	48.4	45.2	48.9	52.9	47.7	53.1	58.4	48.9	55.8	62.8	49.8	58.2	68.3
24 h	38.9	42.4	45.8	47.5	53.1	58.4	52.6	60.8	69.4	58.7	71.6	87.5	62.4	80.3	104.0	65.2	89.5	127.1



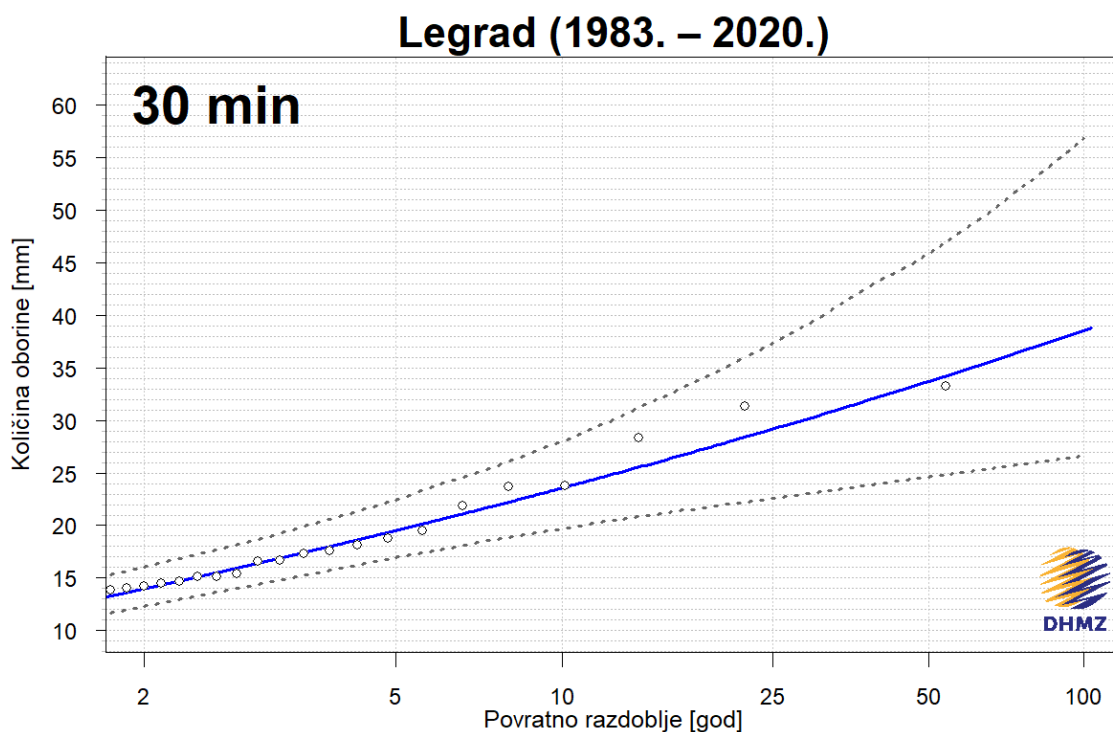
Slika 1. Procjene maksimalnih godišnjih količina oborine za različita povratna razdoblja (plava krivulja) i odgovarajući donji i gornji 95%-tni intervali pouzdanosti (crtkane krivulje) za trajanje **5 minuta**, izračunate pomoću razdiobe GEV



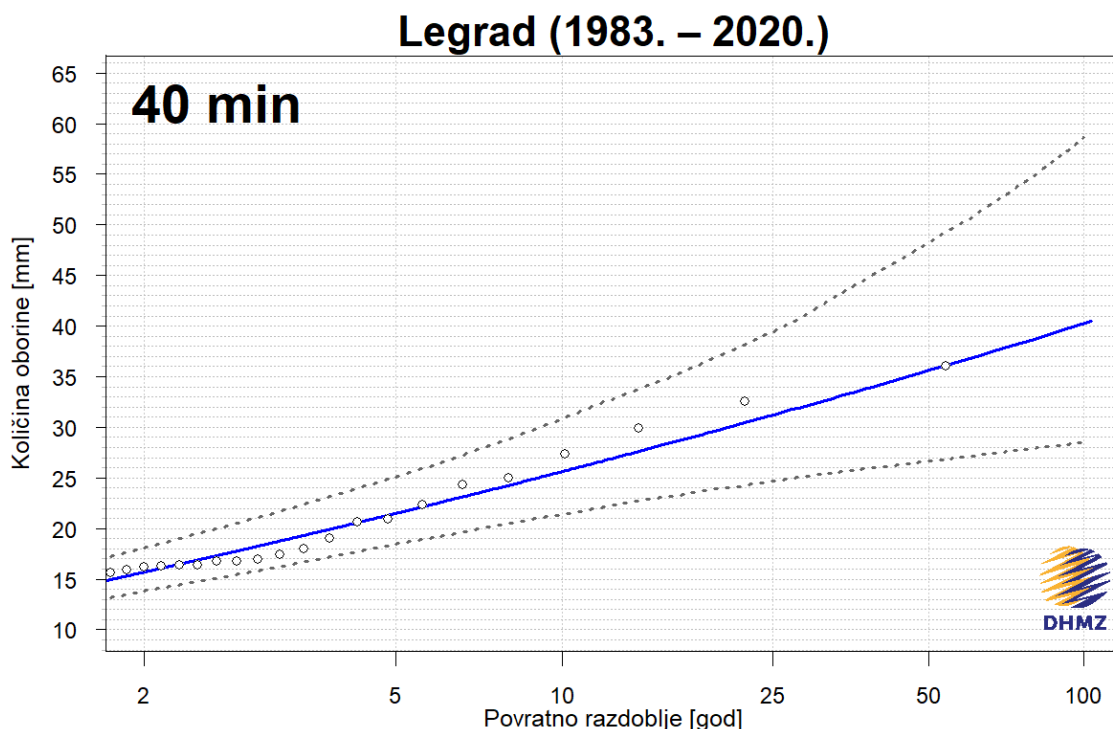
Slika 2. Procjene maksimalnih količina oborine za različita povratna razdoblja (plava krivulja) i odgovarajući donji i gornji 95%-tni intervali pouzdanosti (crtkane krivulje) za trajanje **10 minuta**, izračunate pomoću razdiobe GEV



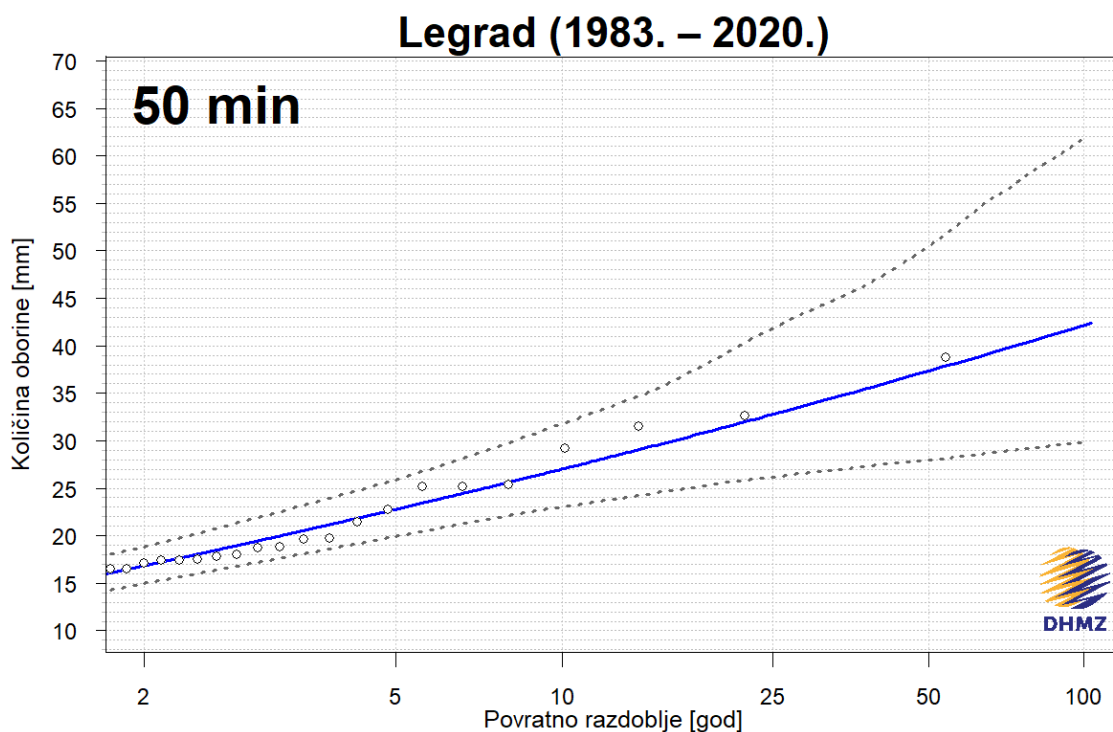
Slika 3. Procjene maksimalnih godišnjih količina oborine za različita povratna razdoblja (plava krivulja) i odgovarajući donji i gornji 95%-tni intervali pouzdanosti (crtkane krivulje) za trajanje **20 minuta**, izračunate pomoću razdiobe GEV



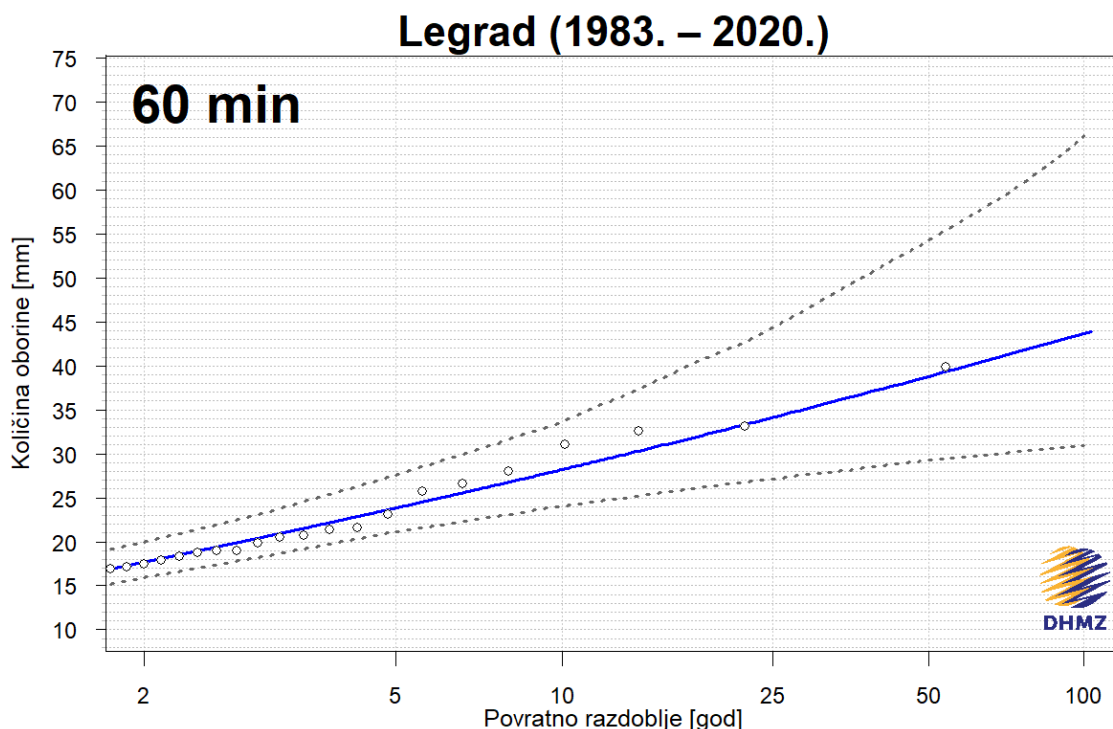
Slika 4. Procjene maksimalnih godišnjih količina oborine za različita povratna razdoblja (plava krivulja) i odgovarajući donji i gornji 95%-tni intervali pouzdanosti (crtkane krivulje) za trajanje **30 minuta**, izračunate pomoću razdiobe GEV



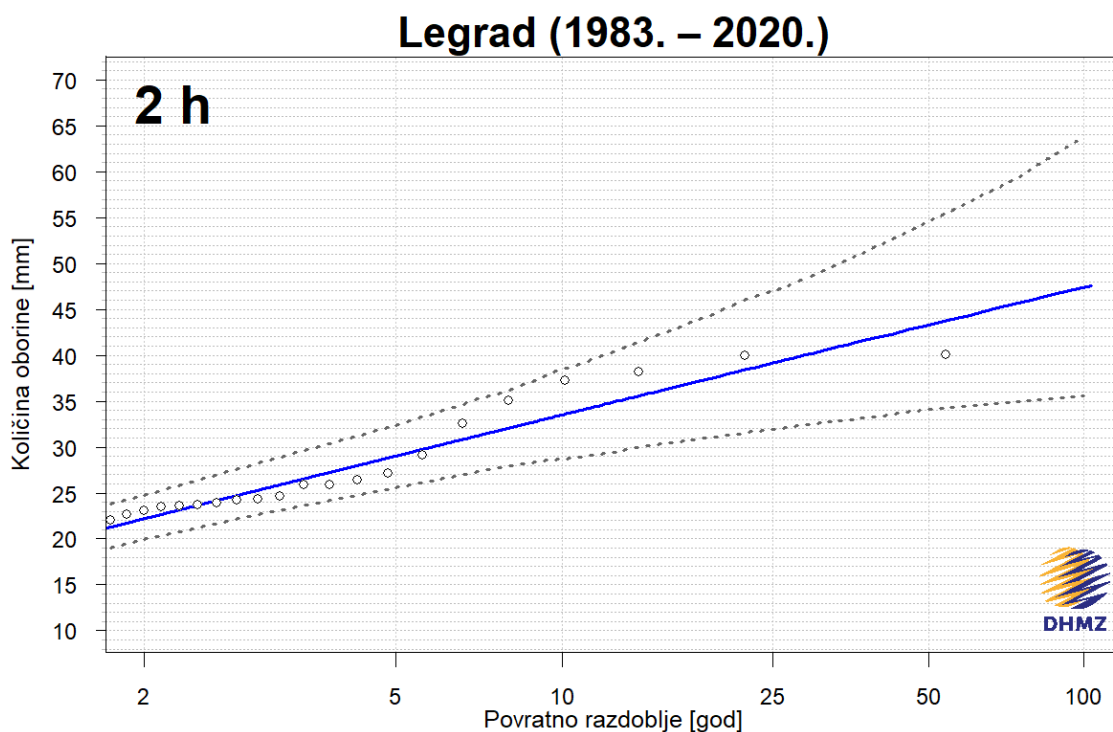
Slika 5. Procjene maksimalnih godišnjih količina oborine za različita povratna razdoblja (plava krivulja) i odgovarajući donji i gornji 95%-tni intervali pouzdanosti (crtkane krivulje) za trajanje **40 minuta**, izračunate pomoću razdiobe GEV



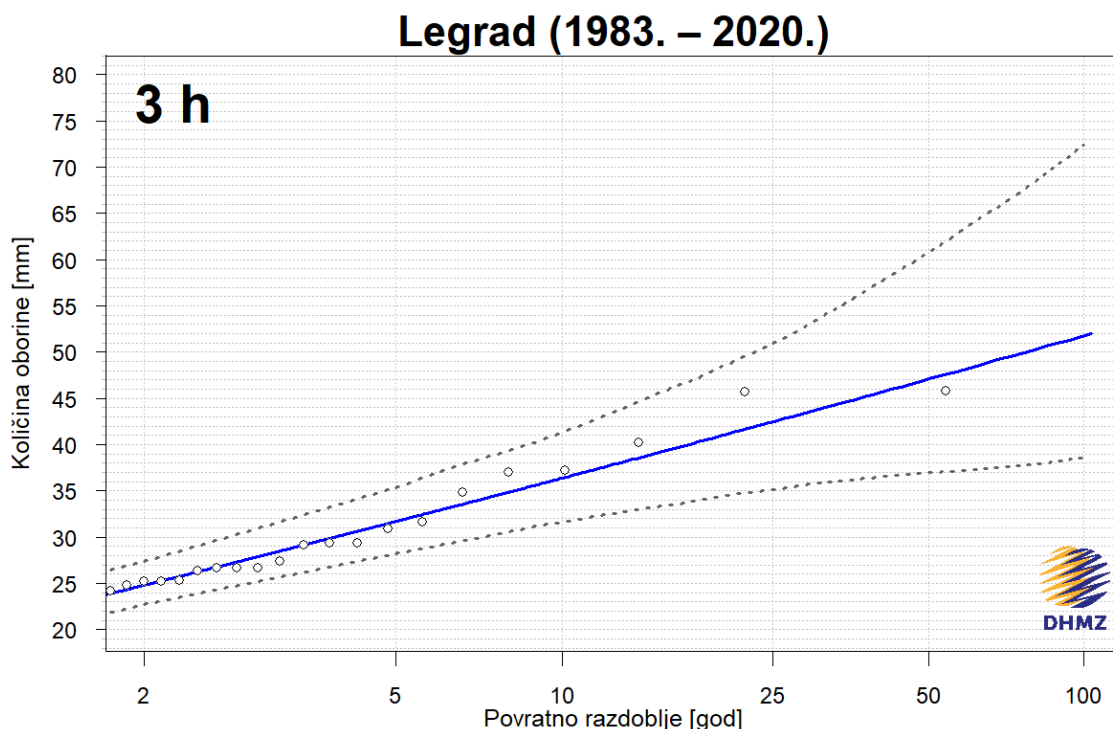
Slika 6. Procjene maksimalnih godišnjih količina oborine za različita povratna razdoblja (plava krivulja) i odgovarajući donji i gornji 95%-tni intervali pouzdanosti (crtkane krivulje) za trajanje **50 minuta**, izračunate pomoću razdiobe GEV



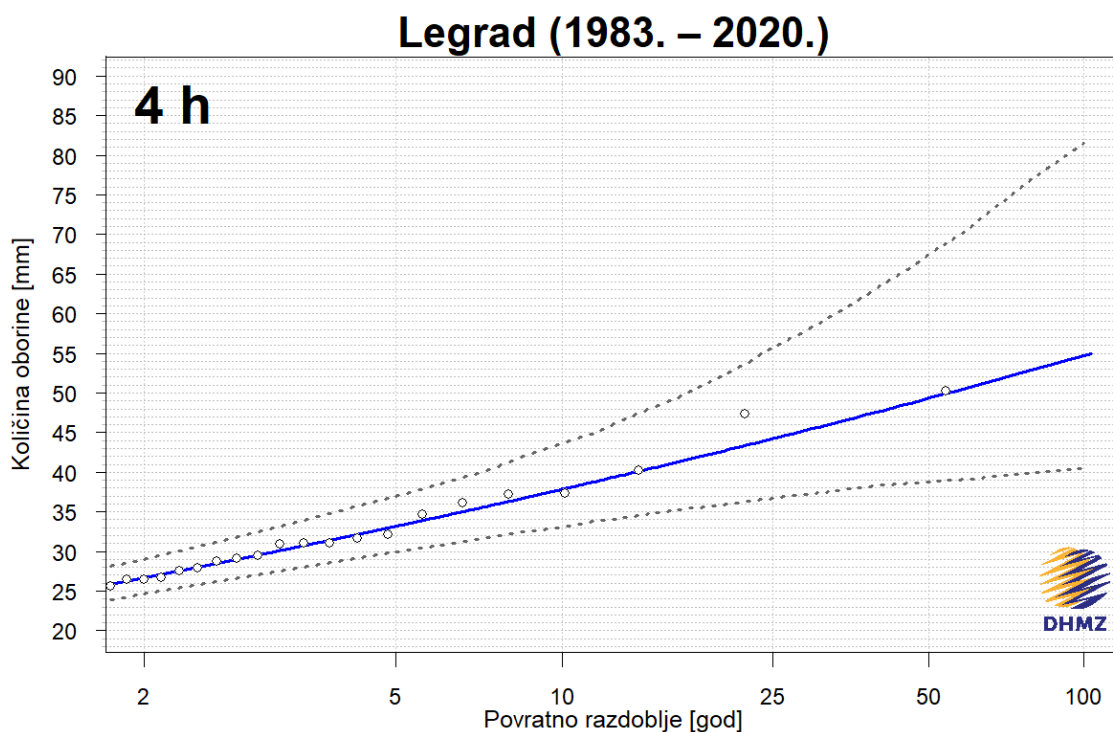
Slika 7. Procjene maksimalnih godišnjih količina oborine za različita povratna razdoblja (plava krivulja) i odgovarajući donji i gornji 95%-tni intervali pouzdanosti (crtkane krivulje) za trajanje **60 minuta**, izračunate pomoću razdiobe GEV



Slika 8. Procjene maksimalnih godišnjih količina oborine za različita povratna razdoblja (plava krivulja) i odgovarajući donji i gornji 95%-tni intervali pouzdanosti (crtkane krivulje) za trajanje **2 h**, izračunate pomoću razdiobe GEV

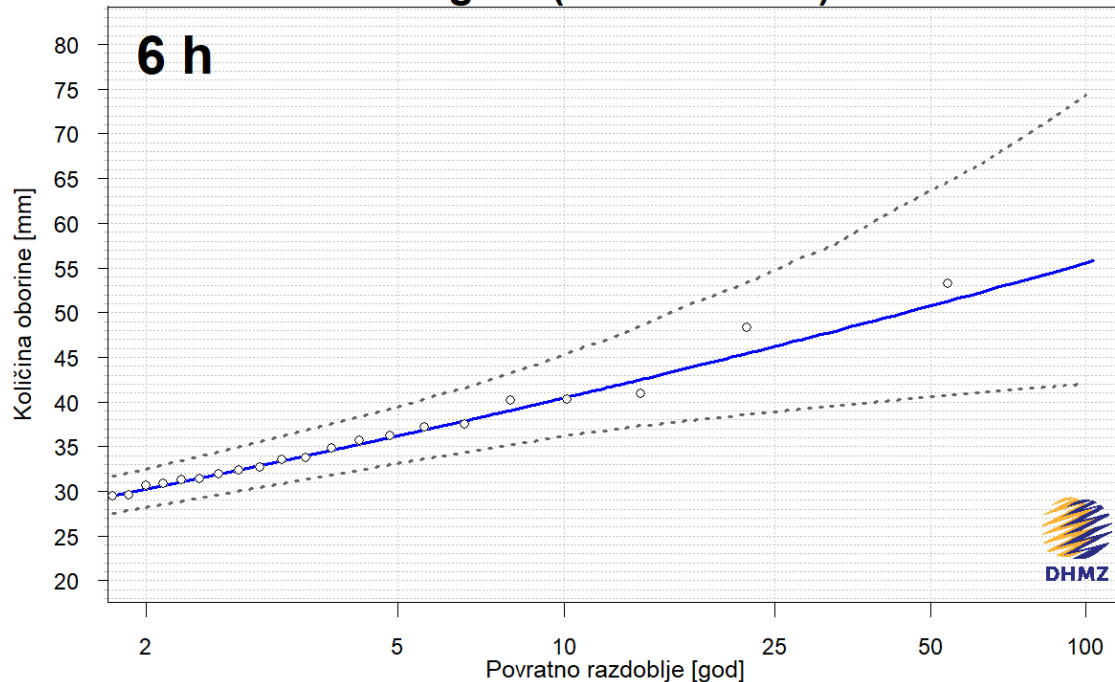


Slika 9. Procjene maksimalnih godišnjih količina oborine za različita povratna razdoblja (plava krivulja) i odgovarajući donji i gornji 95%-tni intervali pouzdanosti (crtkane krivulje) za trajanje **3 h**, izračunate pomoću razdiobe GEV



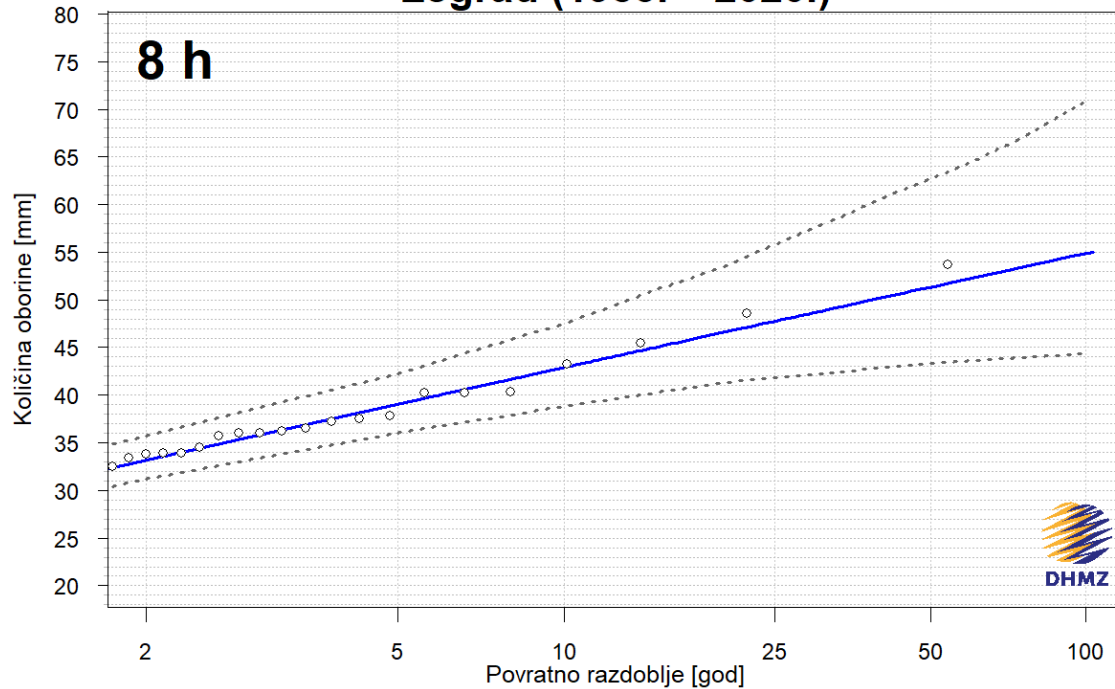
Slika 10. Procjene maksimalnih godišnjih količina oborine za različita povratna razdoblja (plava krivulja) i odgovarajući donji i gornji 95%-tni intervali pouzdanosti (crtkane krivulje) za trajanje **4 h**, izračunate pomoću razdiobe GEV

Legrad (1983. – 2020.)



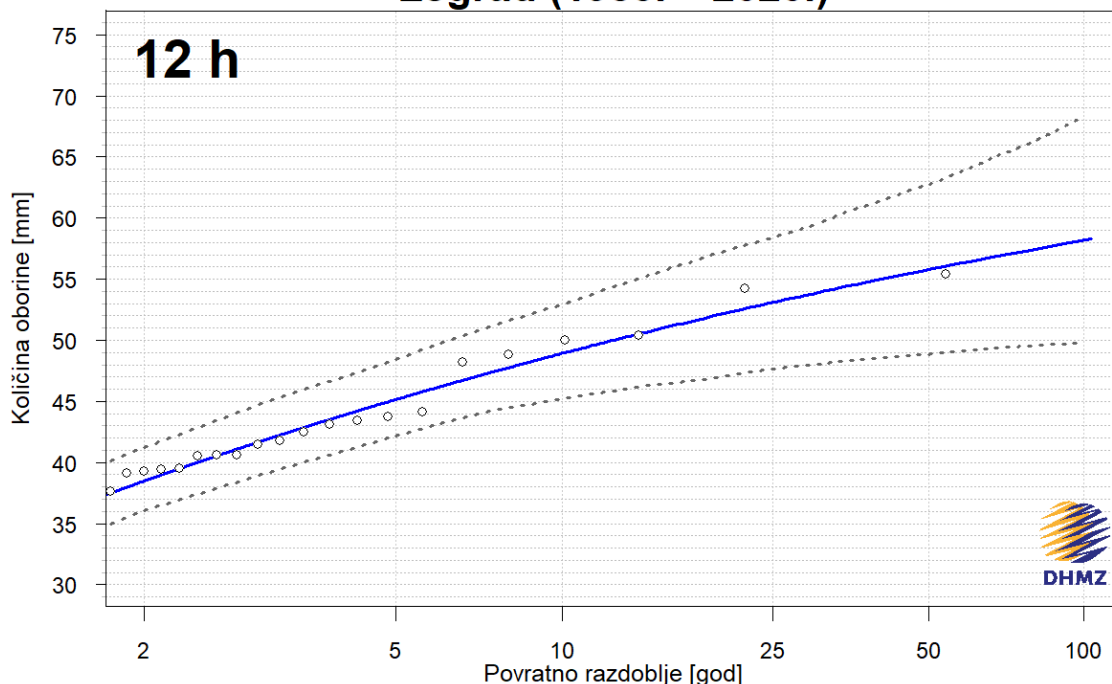
Slika 11. Procjene maksimalnih godišnjih količina oborine za različita povratna razdoblja (plava krivulja) i odgovarajući donji i gornji 95%-tni intervali pouzdanosti (crtkane krivulje) za trajanje **6 h**, izračunate pomoću razdiobe GEV

Legrad (1983. – 2020.)



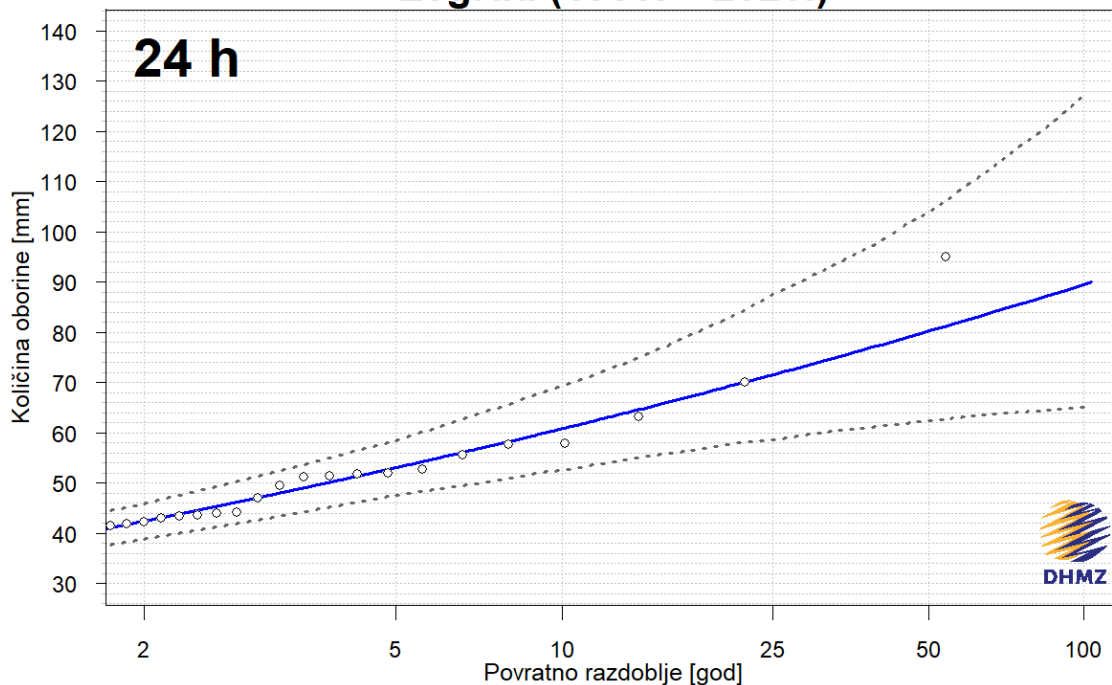
Slika 12. Procjene maksimalnih godišnjih količina oborine za različita povratna razdoblja (plava krivulja) i odgovarajući donji i gornji 95%-tni intervali pouzdanosti (crtkane krivulje) za trajanje **8 h**, izračunate pomoću razdiobe GEV

Legrad (1983. – 2020.)



Slika 13. Procjene maksimalnih godišnjih količina oborine za različita povratna razdoblja (plava krivulja) i odgovarajući donji i gornji 95%-tni intervali pouzdanosti (crtkane krivulje) za trajanje **12 h**, izračunate pomoću razdiobe GEV

Legrad (1983. – 2020.)



Slika 14. Procjene maksimalnih godišnjih količina oborine za različita povratna razdoblja (plava krivulja) i odgovarajući donji i gornji 95%-tni intervali pouzdanosti (crtkane krivulje) za trajanje **24 h**, izračunate pomoću razdiobe GEV